

**ТОЧНОЕ РЕШЕНИЕ ЗАДАЧИ  
ОБ ИЗГИБЕ АНИЗОТРОПНОЙ ПЛАСТИНКИ С ОТВЕРСТИЕМ**

T. L. Martynovich

(Лебов)

Точное решение задачи об изгибе анизотропной пластинки, ослабленной отверстием, известно только для случаев, когда отверстие имеет форму круга или эллипса [1, 2]. Ни для каких иных форм отверстий точного решения не получено. Для определения изгибающих моментов в анизотропной пластинке возле отверстия, мало отличающегося от эллиптического или кругового, применяются приближенные методы [3—6], которые распространены и на случай многосвязных анизотропных пластинок [7].

**1.** Пусть тонкая анизотропная пластинка толщиной  $h$ , имеющая в каждой точке плоскость упругой симметрии, параллельную срединной плоскости  $xOy$ , занимает бесконечную область  $S$  с отверстием, ограниченным простым гладким замкнутым контуром  $L$ , который описывается уравнением  $x + iy = R \left( e^{i\theta} - \sum_{k=1}^N c_k e^{-ik\theta} \right)$ . Рассмотрим первую основную задачу, когда к краю отверстия пластинки  $L$  приложены изгибающие моменты  $m(s)$ , а в удаленных от отверстия частях пластинки изгибающие и крутящие моменты ограничены:  $M_x^\infty = M_1$ ,  $M_y^\infty = M_2$ ,  $H_{xy}^\infty = M_{12}$ .

На основании формул теории изгиба анизотропных пластинок [1, 2] граничные условия запишем в дифференциальной форме

$$(1.1) \quad dV = -m(s)dt \quad (t \in L),$$

причем

$$(1.2) \quad V = \sum_{j=1}^2 \left[ \left( q_j + i \frac{p_j}{\mu_j} \right) \varphi_j(z_j) + \left( q_j + i \frac{\bar{p}_j}{\bar{\mu}_j} \right) \overline{\varphi_j(z_j)} \right],$$

$$\lim_{|z_j| \rightarrow \infty} \varphi_j'(z_j) = A^{(j)} \quad (j = 1, 2),$$

где  $\varphi_j(z_j)$  — аналитические функции, описывающие напряженное состояние в пластинке;  $z_j = x + \mu_j y$  ( $j = 1, 2$ ) — обобщенные комплексные переменные, изменяющиеся в областях  $S_j$ , получаемых из области  $S$  соответствующими аффинными преобразованиями;  $\mu_j = \alpha_j + i\beta_j$  — корни характеристического уравнения;  $p_j$ ,  $q_j$  — известные постоянные величины [1, 2];  $t$  — аффикс точки контура  $L$ ;  $A^{(j)}$  — постоянные, которые выражаются через изгибающие и скручивающие моменты в пластинке на бесконечности.

Контуры отверстий областей  $S_j$  переменных  $z_j = x + \mu_j y$  обозначим через  $L_j$ , а аффиксы их точек — через  $t_j$  ( $j = 1, 2$ ). Аффиксы точек контуров  $L_j$  и контура  $L$  находятся между собой в аффинном соответствии

$$(1.3) \quad t_j = \frac{1 - i\mu_j}{2} t + \frac{1 + i\mu_j}{2} \bar{t} \quad (j = 1, 2).$$

Границные условия (1.1) преобразуем к интегральному виду [8]

$$(1.4) \quad \begin{aligned} \int_L F(t) dV &= - \int_L F(t) m(t) dt, \\ \int_L \overline{F(t)} dV &= - \int_L \overline{F(t)} m(t) dt, \end{aligned}$$

где  $F(t)$  — граничное значение произвольной функции  $F(z)$  переменной  $z = x + iy$ , голоморфной в области пластиинки  $S$ .

Пусть регулярная функция, совершающая конформное отображение внешности единичной окружности  $\gamma(|\zeta| \geq 1)$  на внешность контура  $L$  области  $S$ , имеет вид

$$(1.5) \quad z = \omega(\zeta) = R \left( \zeta + \sum_{k=1}^N c_k \zeta^{-k} \right) (\omega'(\zeta) \neq 0, |\zeta| \geq 1),$$

причем [9]

$$\sum_{k=1}^N k |c_k|^2 < 1.$$

Изменяя в соотношении (1.5) постоянные  $R$ ,  $c_k$  и  $N$ , можно получить отверстия в форме круга, эллипса, овала, криволинейного треугольника, четырехугольника и др.

Соотношения (1.3) с учетом отображающей функции (1.5) примут вид

$$(1.6) \quad t_j = \frac{R_j}{R} [\omega(\sigma) + m_j \bar{\omega}(\sigma)] \quad (t_j \in L_j, \sigma \in \gamma),$$

$$\text{где } R_j = \frac{R(1 - i\mu_j)}{2}; \quad m_j = \frac{1 + i\mu_j}{1 - i\mu_j} \quad (j = 1, 2).$$

Выражения (1.6) представляют собой граничные значения функций

$$z_j = \omega_j(\zeta_j) = \frac{R_j}{R} \left[ \omega(\zeta_j) + m_j \bar{\omega}\left(\frac{1}{\zeta_j}\right) \right] (z_j \in S_j, |\zeta_j| \geq 1),$$

регулярных в областях  $|\zeta_j| \geq 1$ , кроме точек  $\zeta_j = \infty$ , где они имеют полюс порядка  $N$ . Функции  $\omega_j(\zeta_j)$  и  $\omega'_j(\zeta_j)$  имеют нули, расположенные вне единичной окружности  $\gamma(|\zeta_j| \geq 1)$ , число которых равно  $N - 1$  [9].

Только при  $N = 0$  (круговое отверстие) и  $N = 1$  ( $|c_1| < 1$ ) (эллиптическое отверстие)  $\omega_j(\zeta_j) \neq 0$  и  $\omega'_j(\zeta_j) \neq 0$  вне  $\gamma$ .

При больших  $|z_j|$  функции  $\varphi_j(z_j)$  имеют вид [1, 2]

$$\varphi_j(z_j) = D^{(j)} \ln z_j + A^{(j)} z_j + A_0^{(j)} + \mathcal{O}\left(\frac{1}{z_j}\right) \quad (j = 1, 2).$$

Постоянные  $D^{(j)}$  выражаются через компоненты главного момента внешних усилий, приложенных к границе  $L$  по известным формулам (главный вектор  $P_z = 0$ ) [2].

Вводя обозначения  $\varphi_j[\omega_j(\zeta_j)] = \varphi_{*j}(\zeta_j)$ , находим

$$(1.7) \quad \varphi'_j(z_j) = \frac{\varphi'_{*j}(\zeta_j)}{\omega'_j(\zeta_j)} \quad (j = 1, 2),$$

где

$$(1.8) \quad \omega'_j(\zeta_j) = \frac{R_j}{R} \left[ \omega'(\zeta_j) - \frac{m_j}{\zeta_j^2} \bar{\omega}'\left(\frac{1}{\zeta_j}\right) \right].$$

Функции  $\varphi_{*j}(\zeta_j)$  ограничены в областях  $1 \leq |\zeta_j| < \infty$ , а в точках  $\zeta_j = \infty$  имеют полюс порядка  $N$ . Последние утверждения вытекают из условий (1.2), налагаемых на функции  $\varphi_j(z_j)$  на бесконечности

$$(1.9) \quad \lim_{|z_j| \rightarrow \infty} \varphi'_j(z_j) = \lim_{|\zeta_j| \rightarrow \infty} \frac{\varphi'_{*j}(\zeta_j)}{\omega'_j(\zeta_j)} = A^{(j)} \quad (j = 1, 2),$$

и ограниченности выражения

$$2 \frac{\partial W}{\partial z} = \sum_{j=1}^2 [(1 + i\mu_j) \varphi_{*j}(\zeta_j) + (1 + i\bar{\mu}_j) \overline{\varphi_{*j}(\zeta_j)}] \quad (1 \leq |\zeta_j| < \infty),$$

где  $W$  — прогиб пластиинки.

Следовательно, функции  $\varphi_{*j}(\zeta_j)$ , ограниченные в области  $1 \leq |\zeta_j| < \infty$ , при достаточно больших  $|\zeta_j|$  можно представить в виде рядов (неограниченные слагаемые отброшены)

$$(1.10) \quad \varphi_{*j}(\zeta_j) = D^{(j)} \ln \zeta_j + \sum_{k=1}^N a_k^{(j)} \zeta_j^k + \sum_{k=0}^{\infty} A_k^{(j)} \zeta_j^{-k} \quad (j = 1, 2).$$

Однозначные функции (1.7) не имеют других особых точек, кроме полюсов, совпадающих с нулями функции  $\omega_j(\zeta_j)$ . Следовательно, они являются мероморфными функциями переменных  $\zeta_j$ . В рассматриваемом случае в силу представлений (1.5), (1.10) — дробно-рациональными функциями.

При надлежащем определении функций  $\varphi_{*j}(\zeta_j)$  можно достичь того, что функции (1.7) будут ограниченными вне единичной окружности  $\gamma$ . Для этого достаточно потребовать, чтобы нули функции  $\varphi_{*j}(\zeta_j)$  совпадали вне  $\gamma$  с нулями функции  $\omega_j(\zeta_j)$ .

Таким образом, функции  $\varphi_{*j}(\zeta_j)$  должны удовлетворять условиям

$$(1.11) \quad \varphi_{*j}'(\zeta_j^{(n)}) = 0 \quad (n = 1, 2, \dots, N-1), \quad (j = 1, 2),$$

где  $\zeta_j^{(n)}$  — корни уравнений

$$\omega_j(\zeta_j) = 0 \quad (j = 1, 2)$$

по модулю больше единицы ( $|\zeta_j^{(n)}| > 1$ ).

На основании выражений (1.5), (1.8) и (1.10) функции (1.7) принимают вид

$$(1.12) \quad \varphi_j(z_j) = \frac{D^{(j)} + \sum_{k=1}^N k a_k^{(j)} \zeta_j^k - \sum_{k=0}^{\infty} k A_k^{(j)} \zeta_j^{-k}}{R_j \left[ \left( \zeta_j - \sum_{h=1}^N k c_h \zeta_j^{-h} \right) - \frac{m_j \bar{R}}{R} \left( \zeta_j^{-1} - \sum_{h=1}^N k \bar{c}_h \zeta_j^h \right) \right]}.$$

Условия (1.9), (1.11) с учетом разложений (1.10) записутся в виде

$$(1.13) \quad \sum_{k=0}^N k A_k^{(j)} (\zeta_j^{(n)})^{-k} - \sum_{k=1}^{N-1} k a_k^{(j)} (\zeta_j^{(n)})^k = N a_N^{(j)} (\zeta_j^{(n)})^N + D^{(j)} - \sum_{k=N+1}^{\infty} k A_k^{(j)} (\zeta_j^{(n)})^{-k} \quad (n = 1, 2, \dots, N-1), \quad (j = 1, 2),$$

причем

$$a_N^{(j)} = R_j m_j \bar{c}_N \bar{R} R^{-1} A^{(j)} (N > 1).$$

Здесь  $\zeta_j^{(n)}$  — корни уравнений

$$(1.14) \quad \zeta_j - \sum_{h=1}^N k c_h \zeta_j^{-h} - \frac{m_j \bar{R}}{R} \left( \zeta_j^{-1} - \sum_{h=1}^N k \bar{c}_h \zeta_j^h \right) = 0 \quad (j = 1, 2)$$

по модулю больше единицы ( $|\zeta_j^{(n)}| > 1$ ).

В преобразованной области граничные условия (1.4) примут вид

$$(1.15) \quad \begin{aligned} \int_{\gamma} F_*(\sigma) dV &= - \int_{\gamma} F_*(\sigma) m(\sigma) \omega'(\sigma) d\sigma, \\ \int_{\gamma} \overline{F_*(\sigma)} dV &= - \int_{\gamma} \overline{F_*(\sigma)} m(\sigma) \omega'(\sigma) d\sigma, \end{aligned}$$

где  $F_*(\zeta) = F[\omega(\zeta)]$  — произвольная функция, голоморфная вне  $\gamma$ .

Граничное значение функции  $V$  на  $\gamma$ , согласно формулам (1.2), (1.10), равно

$$(1.16) \quad V = \sum_{j=1}^2 \sum_{k=1}^N \left[ \left( q_j + i \frac{p_j}{\mu_j} \right) a_k^{(j)} \sigma^k + \left( \bar{q}_j + i \frac{\bar{p}_j}{\mu_j} \right) \bar{a}_k^{(j)} \sigma^{-k} \right] + \sum_{j=1}^2 \sum_{k=0}^{\infty} \left[ \left( q_j + i \frac{p_j}{\mu_j} \right) A_k^{(j)} \sigma^{-k} + \left( \bar{q}_j + i \frac{\bar{p}_j}{\mu_j} \right) \bar{A}_k^{(j)} \sigma^k \right] + D^* \ln \sigma,$$

причем

$$D^* = - \frac{1}{2\pi i} \int_{\gamma+} m(\sigma) \omega'(\sigma) d\sigma = - \frac{M_x^* + i M_y^*}{2\pi i}.$$

Произвольную функцию  $F_*(\zeta)$  представим в виде ряда

$$(1.17) \quad F_*(\zeta) = \sum_{n=0}^{\infty} E_n \zeta^{-n}.$$

Внесем выражения (1.16), (1.17) в граничные условия (1.15) и выполним интегрирование вдоль замкнутого контура  $\gamma$ . Полагая при этом все  $E_j$ , кроме  $E_n$ , равными нулю, получаем систему линейных алгебраических уравнений относительно коэффициентов разложения искомых функций (1.10) вида

$$(1.18) \quad \begin{aligned} \sum_{j=1}^2 \left[ \left( q_j + i \frac{p_j}{\mu_j} \right) A_n^{(j)} + \left( \bar{q}_j + i \frac{\bar{p}_j}{\mu_j} \right) \bar{a}_n^{(j)} \right] &= f_n, \\ \sum_{j=1}^2 \left[ \left( \bar{q}_j + i \frac{\bar{p}_j}{\mu_j} \right) \bar{A}_n^{(j)} + \left( q_j + i \frac{p_j}{\mu_j} \right) a_n^{(j)} \right] &= g_n \quad (n = 1, 2, \dots, \infty), \end{aligned}$$

причем  $a_n^{(j)} = 0$  при  $n > N$ ;

$$f_n = \frac{1}{2\pi i n} \int_{\gamma+} \sigma^n m(\sigma) \omega'(\sigma) d\sigma, \quad g_n = - \frac{1}{2\pi i n} \int_{\gamma+} \sigma^{-n} m(\sigma) \omega'(\sigma) d\sigma.$$

Из системы (1.18) при  $n > N$  находим

$$\begin{aligned} A_n^{(1)} &= \frac{q_2 - i \frac{p_2}{\mu_2}}{2i \left( q_2 \frac{p_1}{\mu_1} - \bar{q}_1 \frac{p_2}{\mu_2} \right)} f_n - \frac{q_2 + i \frac{p_2}{\mu_2}}{2i \left( q_2 \frac{p_1}{\mu_1} - \bar{q}_1 \frac{p_2}{\mu_2} \right)} \bar{g}_n, \\ A_n^{(2)} &= \frac{q_1 + i \frac{p_1}{\mu_1}}{2i \left( q_2 \frac{p_1}{\mu_1} - \bar{q}_1 \frac{p_2}{\mu_2} \right)} \bar{g}_n - \frac{q_1 - i \frac{p_1}{\mu_1}}{2i \left( q_2 \frac{p_1}{\mu_1} - \bar{q}_1 \frac{p_2}{\mu_2} \right)} f_n \quad (n > N). \end{aligned}$$

Присоединив к системе (1.18) ( $n = 1, 2, \dots, N$ ) равенства (1.13), получаем конечную систему линейных алгебраических уравнений порядка  $4N - 2$  ( $N$  — наибольшая отрицательная степень в разложении отображающей функции (1.5)) для определения остальных коэффициентов разложения функций (1.10).

В случае второй основной задачи, когда заданы значения прогиба  $W$  и нормальной производной  $\partial W / \partial n$  точек контура  $L$  области  $S$ , а изгибающие и крутящие моменты в пластинке на бесконечности ограничены, система уравнений (1.18) заменяется следующей:

$$(1.19) \quad \sum_{j=1}^2 [(1 + i\mu_j) A_n^{(j)} + (1 + i\bar{\mu}_j) \bar{A}_n^{(j)}] = f_n^*,$$

$$\sum_{j=1}^2 [(1 + i\bar{\mu}_j) \bar{A}_n^{(j)} + (1 + i\mu_j) a_n^{(j)}] = g_n^* \quad (n = 1, 2, \dots, \infty),$$

причем  $a_n^{(j)} = 0$  при  $n > N$ ;

$$f_n^* = -\frac{2}{2\pi i n} \int_{\gamma+} \sigma^n d\left[\frac{\partial W}{\partial t}\right], \quad g_n^* = \frac{2}{2\pi i n} \int_{\gamma+} \sigma^{-n} d\left[\frac{\partial W}{\partial t}\right].$$

Если главный момент внешних усилий, вызвавших заданный прогиб  $W$  и угол наклона изогнутой поверхности  $\partial W / \partial n$  в точках контура  $L$ , равен нулю, то постоянные  $D^{(j)} = 0$ . Решив систему (1.19) при  $n > N$ , находим

$$A_n^{(1)} = \frac{1 - i\mu_2}{2i(\mu_1 - \mu_2)} f_n^* - \frac{1 + i\mu_2}{2i(\mu_1 - \mu_2)} \bar{g}_n^*,$$

$$A_n^{(2)} = \frac{1 + i\mu_1}{2i(\mu_1 - \mu_2)} \bar{g}_n^* - \frac{1 - i\mu_1}{2i(\mu_1 - \mu_2)} f_n^* \quad (n > N).$$

Приписав к системе (1.19) ( $n = 1, 2, \dots, N$ ) равенства (1.13), получаем конечную систему линейных алгебраических уравнений порядка  $4N - 2$  для определения остальных коэффициентов разложения функций (1.10).

В случае, когда в отверстие пластинки  $L$  впаяно абсолютно жесткое ядро,  $W = 2 \operatorname{Re}(\varepsilon_0 t) + \bar{W}_0 (t \equiv L)$ , где  $\varepsilon_0$  — комплексная величина, и, следовательно,  $f_n^* = 0$ ,  $g_n^* = 0$ .

Все высказанное с очевидными незначительными изменениями применимо к случаю конечной области  $S$ , отображаемой на круг  $|\zeta| \leq 1$  функцией вида

$$z = \omega(\zeta) = R \left( \zeta + \sum_{k=2}^N c_k \zeta^k \right).$$

2. Рассмотрим изгиб ортотропной пластинки с треугольным отверстием. Оси координат  $x$  и  $y$  направим параллельно главным направлениям упругости. На бесконечности пластины изгибаются моментами  $M_x^\infty = M_1$ ,  $M_y^\infty = M_2$ ,  $H_{xy}^\infty = 0$ . Край отверстия пластины  $L$  не нагружен ( $m = 0$ ).

В данном случае  $N = 2$ ,  $c_1 = 0$ ,  $c_2 = \bar{c}_2$ ,  $D^{(j)} = 0$ ,  $f_n = 0$ ,  $g_n = 0$ ,  $R = \bar{R}$ ,  $\mu_2 = -\bar{\mu}_1$ ,  $m_2 = \bar{m}_1$ ,  $R_2 = \bar{R}_1$ ,  $p_2 = \bar{p}_1$ ,  $q_2 = \bar{q}_1$ ,  $r_2 = -\bar{r}_1$ ,  $A_n^{(2)} = \bar{A}_n^{(1)}$ ,  $a_n^{(2)} = \bar{a}_n^{(1)}$ . Система алгебраических уравнений (1.13), (1.18) будет шестого порядка следующего вида (коэффициенты  $A_n^{(j)}$ ,  $a_n^{(j)}$  — величины комплексные):

$$\operatorname{Re} \left[ \left( q_1 - i \frac{p_1}{\mu_1} \right) A_n^{(1)} + \left( q_1 + i \frac{p_1}{\mu_1} \right) a_n^{(1)} \right] = 0,$$

$$\operatorname{Re} \left[ \left( q_1 + i \frac{p_1}{\mu_1} \right) A_n^{(1)} + \left( q_1 - i \frac{p_1}{\mu_1} \right) a_n^{(1)} \right] = 0,$$

$$2A_2^{(1)} + A_1^{(1)} \zeta_1^{(1)} - a_1^{(1)} (\zeta_1^{(1)})^3 = 2a_2^{(1)} (\zeta_1^{(1)})^4 \quad (n = 1, 2),$$

где

$$a_2^{(1)} = \frac{R_1 m_1 c_2 (\bar{q}_1 M_x^\infty - \bar{p}_1 M_y^\infty)}{2(\bar{p}_1 q_1 - p_1 \bar{q}_1)}; \quad a_2^{(2)} = \bar{a}_2^{(1)}.$$

Здесь  $\zeta_1^{(1)} (\zeta_2^{(1)} = \bar{\zeta}_1^{(1)})$  — корень уравнения (1.14)

$$(2.1) \quad 2c_2 m_1 \zeta_1^4 + \zeta_1^3 - m_1 \zeta_1 - 2c_2 = 0$$

по модулю больше единицы ( $|\zeta_1^{(1)}| > 1$ ).

Функции напряжений, согласно (1.12), имеют вид

$$\varphi_j(z_j) = \frac{2a_2^{(j)} \zeta_j^4 + a_1^{(j)} \zeta_j^3 - A_1^{(j)} \zeta_j - 2A_2^{(j)}}{R_j [(\zeta_j^3 - 2c_2) + m_j (2c_2 \zeta_j^4 - \zeta_j)]} \quad (j = 1, 2).$$

В табл. 1 приведены численные значения изгибающих моментов  $M_\theta$  (в долях  $M$ ) в некоторых точках контура треугольного отверстия ( $c_2 = 0,25$ ) фанерной пластинки, имеющей следующие значения комплексных параметров  $\mu_1 = \alpha + i\beta$ ,  $\mu_2 = -\bar{\mu}_1$  [1]:

$$(2.2) \quad \alpha = 1,04, \quad \beta = 1,55, \quad v_1 = 0,31, \quad v_2 = 0,026, \quad \text{если}$$

$$E_x = E_{\max}, \quad \text{и} \quad \alpha = 0,299, \quad \beta = 0,444, \quad v_1 = 0,026, \quad v_2 = 0,31,$$

если  $E_x = E_{\min}$ .

Корни  $\zeta_1^{(1)}$  уравнения (2.1) по модулю больше единицы ( $|\zeta_1^{(1)}| > 1$ ) соответственно равны ( $c_2 = 0,25$ ):

$$\zeta_1^{(1)} = 3,603 + i2,938, \quad \zeta_2^{(1)} = \bar{\zeta}_1^{(1)}, \quad \text{если } E_x = E_{\max}, \quad \text{и} \quad \zeta_1^{(1)} = -3,570 + i3,068, \quad \zeta_2^{(1)} = \bar{\zeta}_1^{(1)}, \quad \text{если } E_x = E_{\min}.$$

3. Рассмотрим изгиб ортотропной пластинки с квадратным отверстием. За направление осей  $x$  и  $y$  примем главные направления упругости. На бесконечности пластинка изгибается моментами  $M_x^\infty = M$ ,  $M_y^\infty = M$ ,  $H_{xy}^\infty = 0$ . Край отверстия пластинки  $L$  не нагружен ( $m = 0$ ).

В рассматриваемом случае  $N = 3$ ,  $c_1 = 0$ ,  $c_2 = 0$ ,  $c_3 = \bar{c}_3$ ,  $R = \bar{R}$ ,  $D^{(j)} = 0$ ,  $f_n = 0$ ,  $g_n = 0$ ,  $\mu_2 = -\bar{\mu}_1$ ,  $m_2 = \bar{m}_1$ ,  $R_2 = \bar{R}_1$ ,  $p_2 = \bar{p}_1$ ,  $q_2 = \bar{q}_1$ ,  $r_2 = -\bar{r}_1$ ,  $A_2^{(2)} = \bar{A}_1^{(1)}$ ,  $a_2^{(2)} = \bar{a}_1^{(1)}$ , причем с четными индексами  $n$  равны нулю. При положительном  $c_3$  вершины квадрата лежат на осях  $x$  и  $y$ , а при отрицательном  $c_3$  стороны квадрата параллельны осям координат.

Система алгебраических уравнений (1.13), (1.18) с учетом симметрии задачи будет шестого порядка следующего вида:

$$\operatorname{Re} \left[ \left( q_1 - i \frac{p_1}{\mu_1} \right) A_n^{(1)} + \left( q_1 + i \frac{p_1}{\mu_1} \right) a_n^{(1)} \right] = 0,$$

$$\operatorname{Re} \left[ \left( q_1 + i \frac{p_1}{\mu_1} \right) A_n^{(1)} + \left( q_1 - i \frac{p_1}{\mu_1} \right) a_n^{(1)} \right] = 0,$$

$$3A_3^{(1)} + A_1^{(1)} (\zeta_1^{(k)})^2 - a_1^{(1)} (\zeta_1^{(k)})^4 = 3a_3^{(1)} (\zeta_1^{(k)})^6 \quad (n = 1, 3), \quad (k = 1, 2),$$

где

$$a_3^{(1)} = \frac{R_1 m_1 c_3 (\bar{q}_1 M_x^\infty - \bar{p}_1 M_y^\infty)}{2(\bar{p}_1 q_1 - p_1 \bar{q}_1)}; \quad a_3^{(2)} = \bar{a}_3^{(1)}.$$

Таблица 1

| $\theta$ , радиан | $M_x^\infty = M, M_y^\infty = 0$ |                  | $M_x^\infty = 0, M_y^\infty = M$ |                  | $\theta$ , радиан | $M_x^\infty = M, M_y^\infty = 0$ |                  | $M_x^\infty = 0, M_y^\infty = M$ |                  |  |
|-------------------|----------------------------------|------------------|----------------------------------|------------------|-------------------|----------------------------------|------------------|----------------------------------|------------------|--|
|                   | $E_x = E_{\max}$                 |                  | $E_x = E_{\min}$                 |                  |                   | $E_x = E_{\max}$                 |                  | $E_x = E_{\min}$                 |                  |  |
|                   | $E_x = E_{\min}$                 | $E_x = E_{\max}$ | $E_x = E_{\min}$                 | $E_x = E_{\max}$ |                   | $E_x = E_{\max}$                 | $E_x = E_{\min}$ | $E_x = E_{\max}$                 | $E_x = E_{\min}$ |  |
| 0                 | 0,231                            | 1,327            | 2,720                            | 6,745            | 49π/36            | 4,981                            | 1,384            | 1,372                            | 0,085            |  |
| π/36              | 0,216                            | 0,385            | 2,440                            | 4,943            | 24π/36            | 3,923                            | 1,839            | 2,824                            | 0,098            |  |
| π/18              | 0,189                            | 0,061            | 1,661                            | 1,967            | 22π/36            | 5,142                            | 2,120            | 2,999                            | 0,124            |  |
| π/9               | 0,210                            | 0,514            | 0,311                            | 0,531            | 23π/36            | 5,356                            | 2,279            | 1,016                            | 0,176            |  |
| π/6               | 0,343                            | 0,695            | -0,049                           | 0,309            | 2π/3              | 2,862                            | 4,882            | -0,269                           | 0,320            |  |
| 2π/9              | 0,420                            | 0,775            | 0,031                            | 0,236            | 13π/18            | 0,416                            | -1,447           | 1,433                            | 1,785            |  |
| 5π/18             | 0,518                            | 0,827            | 0,184                            | 0,195            | 27π/36            | 0,289                            | -0,876           | 1,475                            | 2,336            |  |
| π/3               | 0,623                            | 0,876            | 0,326                            | 0,165            | 28π/36            | 0,239                            | 0,316            | 1,429                            | 2,329            |  |
| 7π/18             | 0,764                            | 0,941            | 0,462                            | 0,438            | 31π/36            | 0,199                            | 1,664            | 1,279                            | 1,868            |  |
| 4π/9              | 1,002                            | 1,047            | 0,638                            | 0,412            | 17π/18            | 0,194                            | 1,805            | 1,211                            | 1,635            |  |
| π/2               | 1,499                            | 1,235            | 0,999                            | 0,091            | π                 | 0,194                            | 1,814            | 1,499                            | 1,595            |  |

Таблица 2

| $\theta$ , радиан | $M_x^\infty = M,$ |                  | $M_y^\infty = 0,$ |                  | $\theta$ , радиан | $c_3 = -\frac{1}{9}$ |                  | $c_3 = \frac{1}{9}$ |                  | $E_x = E_{\max}$ | $E_x = E_{\min}$ |  |  |  |
|-------------------|-------------------|------------------|-------------------|------------------|-------------------|----------------------|------------------|---------------------|------------------|------------------|------------------|--|--|--|
|                   | $E_x = E_{\max}$  |                  | $E_x = E_{\min}$  |                  |                   | $E_x = E_{\max}$     |                  | $E_x = E_{\min}$    |                  |                  |                  |  |  |  |
|                   | $E_x = E_{\min}$  | $E_x = E_{\max}$ | $E_x = E_{\min}$  | $E_x = E_{\max}$ |                   | $E_x = E_{\max}$     | $E_x = E_{\min}$ | $E_x = E_{\max}$    | $E_x = E_{\min}$ |                  |                  |  |  |  |
| 0                 | 0,133             | 1,482            | 0,260             | 3,218            | 11π/36            | 2,492                | 1,596            | 0,466               | 0,596            |                  |                  |  |  |  |
| π/36              | 0,132             | 1,477            | 0,251             | 2,347            | π/3               | 2,341                | 1,593            | 0,551               | 0,643            |                  |                  |  |  |  |
| π/18              | 0,132             | 1,455            | 0,234             | 1,056            | 43π/36            | 2,178                | 1,531            | 0,690               | 0,739            |                  |                  |  |  |  |
| π/9               | 0,131             | 1,224            | 0,225             | 0,527            | 7π/18             | 1,986                | 1,466            | 0,955               | 0,914            |                  |                  |  |  |  |
| π/6               | 0,146             | 0,004            | 0,269             | 0,544            | 4π/9              | 1,726                | 1,377            | 2,865               | 1,553            |                  |                  |  |  |  |
| 2π/9              | 0,270             | -0,933           | 0,330             | 0,561            | 17π/36            | 1,664                | 1,356            | 5,001               | 1,882            |                  |                  |  |  |  |
| 5π/18             | 1,366             | 1,372            | 0,409             | 0,575            | π/2               | 1,644                | 1,349            | 5,944               | 2,049            |                  |                  |  |  |  |

Здесь  $\zeta_1^{(k)} (\zeta_2^{(k)} = \bar{\zeta}_1^{(k)})$  — корни уравнения (1.14)

$$(3.1) \quad 3c_3m_1\zeta_1^6 + \zeta_1^4 - m_1\zeta_1^2 - 3c_3 = 0$$

по модулю больше единицы ( $|\zeta_1^{(k)}| > 1$ ).

Функции напряжений, согласно (1.12), имеют вид

$$\varphi_j'(z_j) = \frac{3a_3^{(j)}\zeta_j^6 + a_1^{(j)}\zeta_j^4 - A_1^{(j)}\zeta_j^2 - 3A_3^{(j)}}{R_j [(\zeta_j^4 - 3c_3) - m_j(\zeta_j^2 - 3c_3\zeta_j^6)]} \quad (j = 1, 2).$$

В табл. 2 помещены численные значения изгибающих моментов  $M_\theta$  (в долях  $M$ ) в некоторых точках контура квадратного отверстия ( $c_3 = \pm 1/9$ ) фанерной пластинки с комплексными параметрами (2.2). Корни уравнения (3.1) по модулю больше единицы ( $|\zeta_1^{(k)}| > 1$ ) соответственно равны:

$$(\zeta_1^{(k)})^2 = -5,103 - i4,767, \quad \zeta_2^{(k)} = \bar{\zeta}_1^{(k)}, \quad \text{если } E_x = E_{\max}, c_3 = -\frac{1}{9},$$

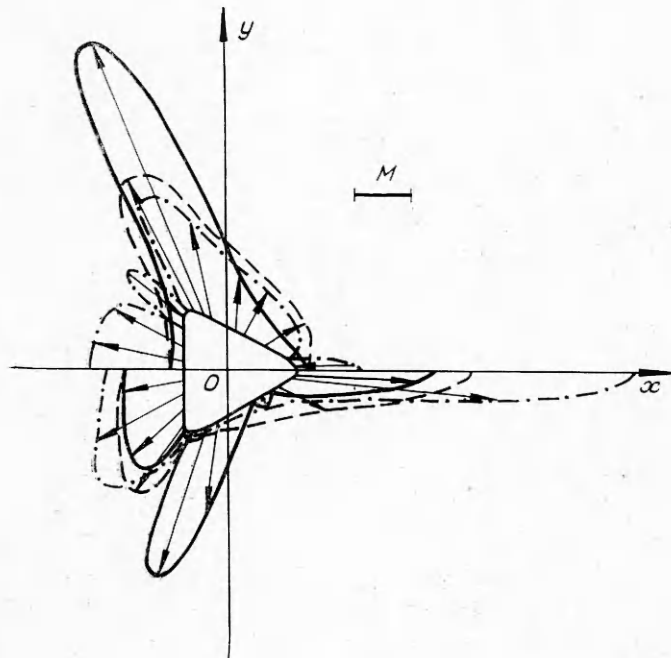
$$(\zeta_1^{(k)})^2 = 5,683 + i4,280, \quad \zeta_2^{(k)} = \bar{\zeta}_1^{(k)}, \quad \text{если } E_x = E_{\max}, c_3 = \frac{1}{9},$$

$$(\zeta_1^{(k)})^2 = 5,103 - i4,767, \quad \zeta_2^{(k)} = \bar{\zeta}_1^{(k)}, \quad \text{если } E_x = E_{\min}, c_3 = -\frac{1}{9},$$

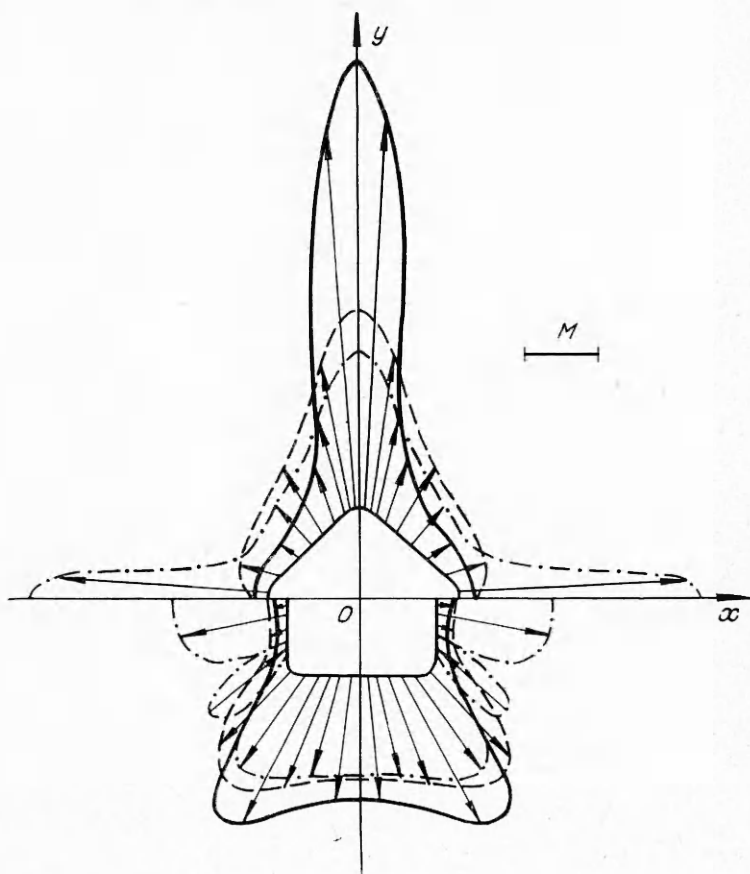
$$(\zeta_1^{(k)})^2 = -5,683 + i4,280, \quad \zeta_2^{(k)} = \bar{\zeta}_1^{(k)}, \quad \text{если } E_x = E_{\min}, c_3 = \frac{1}{9},$$

( $k = 1, 2$ ).

На фиг. 1, 2 изображено распределение моментов  $M_\theta$  по краю соответствующих отверстий в фанерной пластинке, у которой загружены стороны, параллельные оси  $Oy$  ( $M_x^\infty = M$ ,  $M_y^\infty = 0$ ). Графики, помещенные в нижней части фиг. 1 ( $\pi \leqslant \theta \leqslant 2\pi$ ), отвечают случаю, когда



Ф и г. 1



Фиг. 2

загружены стороны пластинки, параллельные оси  $Ox$  ( $M_y^\infty = M$ ,  $M_x^\infty = 0$ ). Сплошные линии соответствуют случаю  $E_x = E_{\max}$ , штрихпунктирные — случаю  $E_x = E_{\min}$ , а штриховые — изотропной пластинке с коэффициентом Пуассона, равным 0,3.

Плоская задача теории упругости для анизотропной пластинки с отверстием вида (1.5) решается аналогично.

Поступила 6 IX 1976

#### ЛИТЕРАТУРА

1. Лехницкий С. Г. Анизотропные пластинки. М., ГИТТЛ, 1957.
2. Савин Г. Н. Концентрация напряжений около отверстий. М.—Л., ГИТТЛ, 1951.
3. Лехницкий С. Г. Приближенный метод определения напряжений в упругой анизотропной пластинке вблизи отверстия, мало отличающегося от кругового. — «Инж. журн.», 1953, т. 17.
4. Ермолаев Б. И. Приближенный метод определения напряжений при изгибе анизотропной пластинки с отверстием. — «Изв. высш. учеб. заведений. Строительство и архитектура», 1960, № 1.
5. Ермолаев Б. И. Приближенное решение задачи о чистом изгибе ортотропной плиты с овальным и квадратным отверстиями. — «Труды Саратов. политехи. ин-та», 1959, т. 2.

6. Космодамианский А. С. Новый приближенный метод определения напряжений в анизотропной пластинке с криволинейным отверстием.— В кн.: Некоторые задачи теории упругости о концентрации напряжений и деформации упругих тел. Вып. 2. Саратов, изд. Саратов. ун-та, 1965.
7. Меглинский В. В. Некоторые задачи изгиба тонких многосвязных анизотропных плит.— В кн.: Некоторые задачи теории упругости о концентрации напряжений и деформации упругих тел. Вып. 3. Саратов, изд. Саратов. ун-та, 1967.
8. Мартынович Т. Л., Божидарник В. В., Максимович Ю. М. Влияние эксцентрикитета подкрепления края отверстия на напряженное состояние в анизотропной пластинке.— «Механика полимеров», 1974, № 2.
9. Привалов И. И. Введение в теорию функций комплексного переменного. М., ГИТГЛ, 1954.

УДК 535.854 : 531 787

## ТЕМПЕРАТУРНОЕ ВЛИЯНИЕ ПРИ ИСПОЛЬЗОВАНИИ ИНТЕРФЕРЕНЦИОННОГО МЕТОДА ДЛЯ ИЗУЧЕНИЯ ЭФФЕКТОВ НОРМАЛЬНЫХ НАПРЯЖЕНИЙ

*A. A. Шарц*

*(Москва)*

Сейчас можно считать установленным, что отклонения в поведении жидкостей от предсказываемого классической теорией в первую очередь проявляются в эффектах нормальных напряжений [1]. Для жидкостей со структурной вязкостью, изменяющейся с изменением градиента скорости, эти эффекты (эффекты Вайсенберга [2]) наблюдаются при сравнительно малых градиентах скорости, по ним существует обширный экспериментальный материал [3].

Напротив, для жидкостей, не показывающих изменения вязкости даже при высоких градиентах скорости как в классических [4], так и в более поздних экспериментах, данные по изучению нормальных напряжений при высоких градиентах скорости в литературе отсутствуют. Отсутствие таких экспериментов становится понятным, если принять во внимание, что, в то время как измерение вязкости не предъявляет высоких требований к настройке аппаратуры, изучение нормальных напряжений требует предельно аккуратных поверхностей и тщательной юстировки для снижения динамических погрешностей, что трудно достигается при тех высоких градиентах скорости, когда можно ожидать появления эффектов второго порядка у жидкостей с ньютоновой вязкостью. Влияние непараллельности в установке дисков при торзионном течении изучалось в [5].

Для достижения высоких градиентов скорости в торзионном течении приходится использовать малые зазоры (порядка десяти микрон), что не позволяет применять традиционные методы измерения нормальных напряжений, поскольку и манометрические отверстия и пьезодатчики искают микрогеометрию зазора.

В работе [6] предложен бесконтактный метод исследования нормальных напряжений в торзионном течении, использующий интерференцию большой разности хода и свойство эпоксидных смол изменять показатель преломления при изменении нагрузки.

Поскольку в массе жидкости, подвергаемой сдвиговому напряжению, генерируется тепло, а интерференционные методы весьма чувствительны к